



где  $\mathbf{M} \in \mathbb{R}^3$  – импульсивный момент,  $\boldsymbol{\alpha} \in \mathbb{R}^3$  – импульсивная сила,  $H = H(\mathbf{M}, \boldsymbol{\alpha})$  – полная энергия. Известными интегралами системы (1.1) являются геометрический интеграл

$$\Gamma = \alpha_1^2 + \alpha_2^2 + \alpha_3^2, \quad (1.2)$$

интеграл площадей

$$L = M_1\alpha_1 + M_2\alpha_2 + M_3\alpha_3$$

и полная энергия  $H$ . На совместном уровне

$$\mathcal{P}_{a,\ell} = \{\Gamma = a^2, \quad L = \ell\}, \quad \dim \mathcal{P}_{a,\ell} = 4$$

система (1.1) гамильтонова с двумя степенями свободы, в связи с чем для ее интегрируемости достаточно в дополнение к интегралу  $H$  указать еще один интеграл, независимый с  $H$  почти всюду.

В работе [1] найден случай интегрируемости, в котором

$$H = \frac{1}{2}(M_1^2 + M_2^2) + M_3^2 + \frac{1}{2}[c(\alpha_1^2 - \alpha_2^2) + \frac{b}{\alpha_3^2}]. \quad (1.3)$$

В предположении

$$L = 0 \quad (1.4)$$

система (1.1) на  $\mathcal{P}_{a,0}$  имеет первый интеграл

$$F = [M_1^2 - M_2^2 - \frac{b(\alpha_1^2 - \alpha_2^2)}{a^2\alpha_3^2} + c\alpha_3^2]^2 + 4[M_1M_2 - \frac{b\alpha_1\alpha_2}{a^2\alpha_3^2}]^2. \quad (1.5)$$

В частном случае  $b = 0$  этот интеграл найден С.А. Чаплыгиным [2]. Там же выполнено и сведение задачи при  $b = 0$  к эллиптическим квадратурам. Дальнейшие обобщения рассматриваемая интегрируемая система получила в работе Х.М. Яхья [3]. Явного сведения случая Горячева (1.3)-(1.5) к квадратурам до настоящего момента найдено не было. В работе [4] на основе идей бигамильтонова подхода предложены переменные разделения, однако предложенные уравнения типа Абеля-Якоби полностью в явной форме не выписаны. Не найдены и зависимости фазовых переменных от переменных разделения, в связи с чем результаты [4] еще далеки от завершения.

В настоящей публикации представлено явное разделение переменных для случая Горячева. Это решение не требует привлечения каких-либо математических теорий. Получены простые разделенные дифференциальные уравнения, все исходные фазовые переменные алгебраически выражены через переменные разделения.

## 2 Параметризация интегральных многообразий

В этом параграфе мы обобщаем замены С.А. Чаплыгина [2], следуя геометрическому подходу к разделению переменных, предложенному в [5, 6, 7].

Вместо одного из интегралов  $H, F$  можно рассматривать интеграл в форме, предложенной в [4]:

$$K = [M_1^2 + M_2^2 + \frac{b}{\alpha_3^2}]^2 + 2c\alpha_3^2(M_1^2 - M_2^2) + c^2\alpha_3^4.$$

При условии (1.4) он выражается через  $H$  и  $F$  следующим образом:

$$K = F + \frac{4b}{a^2}H - \frac{b^2}{a^4}. \quad (2.1)$$

Подходящим выбором единиц измерений и направления подвижных осей можно добиться того, чтобы было выполнено  $c = 1$  и  $a = 1$ .

Введем переменные  $x, z, \xi$ , полагая

$$x^2 = \alpha_1^2 + \alpha_2^2, \quad z = \alpha_3^2, \quad \xi = M_1^2 + M_2^2 + \frac{b}{\alpha_3^2}. \quad (2.2)$$

Эти переменные подсказаны работой [2], в которой при  $b = 0$  они привели к разделению. Следуя С.В. Ковалевской, введем также комплексную замену ( $i^2 = -1$ )

$$\begin{aligned} w_1 &= M_1 + iM_2, & w_2 &= M_1 - iM_2, \\ x_1 &= \alpha_1 + i\alpha_2, & x_2 &= \alpha_1 - i\alpha_2. \end{aligned} \quad (2.3)$$

Геометрический интеграл примет вид

$$x^2 + z = 1, \quad (2.4)$$

а поскольку сама постановка задачи предполагает  $\alpha_3 \neq 0$ , из (1.2), (1.4), (2.3) выразим

$$M_3 = -\frac{x_2 w_1 + x_1 w_2}{2\sqrt{z}}. \quad (2.5)$$

Подстановка (2.2), (2.5) в уравнения

$$H = h, \quad K = k \quad (2.6)$$

интегрального многообразия  $J_{h,k} \subset \mathcal{P} = \mathcal{P}_{1,0}$  приводит их к виду

$$w_1^2 + w_2^2 = \frac{k - \xi^2}{z} - z, \quad (2.7)$$

$$x_1^2(w_2^2 + z) + x_2^2(w_1^2 + z) = 4hz - 2\xi - 2b \left(1 - \frac{1}{z}\right). \quad (2.8)$$

Из определения (2.2) с использованием (2.4), (2.7) имеем также

$$w_1 w_2 = \xi - \frac{b}{z}, \quad (2.9)$$

$$z^2(w_1^2 + z)(w_2^2 + z) = kz^2 - 2b\xi z + b^2, \quad (2.10)$$

$$x_1 x_2 = 1 - z. \quad (2.11)$$

Из (2.7), (2.9) находим

$$w_1 = \frac{1}{2\sqrt{z}}(\sqrt{\varphi_-} + \sqrt{\varphi_+}), \quad w_2 = \frac{1}{2\sqrt{z}}(\sqrt{\varphi_-} - \sqrt{\varphi_+}),$$

где

$$\varphi_{\pm}(z, \xi) = k \pm 2b - (\xi \pm z)^2.$$

Введем комплексно сопряженные переменные

$$\mu_1 = z(w_1^2 + z), \quad \mu_2 = z(w_2^2 + z), \quad (2.12)$$

и пусть  $\mu^2 = \mu_1 \mu_2$ . Тогда уравнение (2.10) примет вид

$$\mu^2 = kz^2 - 2b\xi z + b^2. \quad (2.13)$$

Отсюда, в частности, следует, что любая траектория системы изображается в виде кривой на поверхности второго порядка (2.13) в вещественном трехмерном пространстве  $\mathbb{R}^3(z, \xi, \mu)$ .

Из (2.12), (2.7) находим

$$\mu_1 + \mu_2 = z^2 - \xi^2 + k.$$

Обозначая  $\psi = z^2 - \xi^2 + k$ ,  $\psi_{\pm} = \psi \pm 2\mu$ , можем записать

$$\sqrt{\mu_1} = \frac{1}{2} \left( \sqrt{\psi_+} + \sqrt{\psi_-} \right), \quad \sqrt{\mu_2} = \frac{1}{2} \left( \sqrt{\psi_+} - \sqrt{\psi_-} \right). \quad (2.14)$$

Обозначим

$$\theta = 2hz^2 - (\xi + b)z + b, \quad \theta_{\pm} = \theta \pm (1 - z)\mu.$$

Тогда из (2.8), (2.11), (2.12) получим

$$x_1 = \frac{1}{\sqrt{2\mu_2}} \left( \sqrt{\theta_+} + \sqrt{\theta_-} \right), \quad x_2 = \frac{1}{\sqrt{2\mu_1}} \left( \sqrt{\theta_+} - \sqrt{\theta_-} \right),$$

или, с учетом (2.14)

$$x_1 = \sqrt{2} \frac{\sqrt{\theta_+} + \sqrt{\theta_-}}{\sqrt{\psi_+} - \sqrt{\psi_-}}, \quad x_2 = \sqrt{2} \frac{\sqrt{\theta_+} - \sqrt{\theta_-}}{\sqrt{\psi_+} + \sqrt{\psi_-}}.$$

Выражения для  $M_3, \alpha_3$  находим теперь из (2.5) и второго соотношения (2.2). Таким образом, найдены все алгебраические выражения для фазовых переменных через две вспомогательных переменных  $z, \xi$ . Возвращаясь к вещественным компонентам фазового вектора, имеем

$$\begin{aligned} M_1 &= \frac{1}{2} \sqrt{\frac{\varphi_-}{z}}, \quad M_2 = -\frac{i}{2} \sqrt{\frac{\varphi_+}{z}}, \\ M_3 &= \frac{1}{4\sqrt{2}\mu z} \left\{ \sqrt{\varphi_+} \left( \sqrt{\psi_-} \sqrt{\theta_+} + \sqrt{\psi_+} \sqrt{\theta_-} \right) - \sqrt{\varphi_-} \left( \sqrt{\psi_-} \sqrt{\theta_-} + \sqrt{\psi_+} \sqrt{\theta_+} \right) \right\}, \\ \alpha_1 &= \frac{1}{2\sqrt{2}\mu} \left( \sqrt{\psi_+} \sqrt{\theta_+} + \sqrt{\psi_-} \sqrt{\theta_-} \right), \\ \alpha_2 &= -\frac{i}{2\sqrt{2}\mu} \left( \sqrt{\psi_+} \sqrt{\theta_-} + \sqrt{\psi_-} \sqrt{\theta_+} \right), \\ \alpha_3 &= \sqrt{z}. \end{aligned} \quad (2.15)$$

Считая, что в представленных выше формулах выбрано  $\mu \geq 0$ , запишем условие существования вещественных решений (2.15) в виде системы неравенств

$$\begin{aligned} \varphi_+(z, \xi) &\leq 0, \quad \varphi_-(z, \xi) \geq 0, \\ \psi_+(z, \xi) &\geq 0, \quad \psi_-(z, \xi) \leq 0, \\ \theta_+(z, \xi) &\geq 0, \quad \theta_-(z, \xi) \leq 0. \end{aligned}$$

Заметим, что подстановка  $k$  через постоянную интеграла  $F$ , которую по очевидным соображениям обозначим через  $f^2$ , дает

$$\theta_+ \theta_- = [\xi - b - f + (b + f - 2h)z][\xi - b + f + (b - f - 2h)z]z^2. \quad (2.16)$$

Кроме того

$$\psi_+ \psi_- = \varphi_+ \varphi_- = [(z - \xi)^2 + 2b - k][(z + \xi)^2 - 2b - k].$$

Отсюда следует, что проекция интегрального многообразия  $J_{h,k}$  на плоскость  $(z, \xi)$  ограничена сегментами (возможно, и неограниченными) прямых

$$\begin{aligned} \xi - b \pm f + (b \mp f - 2h)z &= 0, \\ z - \xi \pm \sqrt{k - 2b} &= 0, \quad z + \xi \pm \sqrt{k + 2b} = 0, \end{aligned}$$

каждая из которых, если она корректно определена, служит касательной к кривой второго порядка

$$\mathcal{G} : kz^2 - 2b\xi z + b^2 = 0. \quad (2.17)$$

Выбрав семейство таких касательных в качестве координатной сети в соответствующей компоненте плоскости, получим, что в такой сети для всех допустимых пар постоянных первых интегралов область возможности движения окажется прямоугольной, что, как правило, ведет к разделению переменных [6, 7].

### 3 Вещественное разделение переменных

Каждая из касательных к кривой (2.17) в области

$$kz^2 - 2b\xi z + b^2 \geq 0,$$

в свою очередь, является проекцией на плоскость  $(z, \xi)$  пары прямолинейных образующих однополостного гиперboloида (2.13) в пространстве  $\mathbb{R}^3(z, \xi, \mu)$ . Выберем в качестве параметров двух семейств таких образующих корни  $u_1, u_2$  квадратного уравнения

$$zu^2 - 2bu + (2b\xi - kz) = 0. \quad (3.1)$$

Его дискриминант, равный  $\mu^2$ , в силу (2.10) неотрицателен на всех траекториях, поэтому  $u_1, u_2$  вещественны. Тогда из (3.1), (2.13) найдем

$$z = \frac{2b}{u_1 + u_2}, \quad \xi = \frac{u_1 u_2 + k}{u_1 + u_2}, \quad \mu = b \frac{u_1 - u_2}{u_1 + u_2}. \quad (3.2)$$

Обозначим

$$p_1(u) = 2b + k - u^2, \quad p_2(u) = 2b - k + u^2, \quad p_3(u) = (u - b)^2 - f^2,$$

и пусть

$$r_{ij} = p_i(u_j), \quad r_{ij} = \sqrt{p_{ij}} \quad (i = 1, 2, 3; \quad j = 1, 2). \quad (3.3)$$

Знак каждой из величин  $r_{ij}$  произволен, но во всех используемых одновременно формулах должен быть выбран одинаковым. Имеем

$$\begin{aligned} \varphi_+ &= -\frac{p_{11}p_{12}}{(u_1 + u_2)^2}, & \varphi_- &= -\frac{p_{21}p_{22}}{(u_1 + u_2)^2}, \\ \psi_+ &= \frac{p_{12}p_{21}}{(u_1 + u_2)^2}, & \psi_- &= \frac{p_{11}p_{22}}{(u_1 + u_2)^2}, \\ \theta_+ &= \frac{2bp_{31}}{(u_1 + u_2)^2}, & \theta_- &= \frac{2bp_{32}}{(u_1 + u_2)^2}. \end{aligned}$$

Подставляя эти выражения вместе с (3.2) в (2.15), выбираем знаки радикалов согласованными таким образом, чтобы выполнялись интегральные соотношения (2.6). Для этого достаточно выполнения равенства, по смыслу согласованного с (2.16):

$$\sqrt{\varphi_+}\sqrt{\varphi_-} = \sqrt{\psi_+}\sqrt{\psi_-}.$$

Поэтому положим

$$\begin{aligned} \sqrt{\varphi_+} &= -i \frac{r_{11}r_{12}}{u_1 + u_2}, & \sqrt{\varphi_-} &= i \frac{r_{21}r_{22}}{u_1 + u_2}, \\ \sqrt{\psi_+} &= \frac{r_{12}r_{21}}{u_1 + u_2}, & \sqrt{\psi_-} &= \frac{r_{11}r_{22}}{u_1 + u_2}, \\ \sqrt{\theta_+} &= \frac{\sqrt{2b}r_{31}}{u_1 + u_2}, & \sqrt{\theta_-} &= \frac{\sqrt{2b}r_{32}}{u_1 + u_2}. \end{aligned}$$

Тогда из (2.15) получаем

$$\begin{aligned}
M_1 &= i \frac{r_{21}r_{22}}{2\sqrt{2b}(u_1 + u_2)}, & M_2 &= -\frac{r_{11}r_{12}}{2\sqrt{2b}(u_1 + u_2)}, \\
M_3 &= -\frac{i}{2\sqrt{b}(u_1^2 - u_2^2)}(r_{12}r_{22}r_{31} + r_{11}r_{21}r_{32}), \\
\alpha_1 &= \frac{1}{2\sqrt{b}(u_1^2 - u_2^2)}(r_{12}r_{21}r_{31} + r_{11}r_{22}r_{32}), \\
\alpha_2 &= -\frac{i}{2\sqrt{b}(u_1^2 - u_2^2)}(r_{11}r_{22}r_{31} + r_{12}r_{21}r_{32}), \\
\alpha_3 &= \frac{\sqrt{2b}}{\sqrt{u_1 + u_2}}.
\end{aligned} \tag{3.4}$$

Для вывода дифференциальных уравнений для новых переменных  $u_1, u_2$  из определения (2.2) в силу системы (1.1) найдем

$$\dot{\xi} = 2\alpha_3(\alpha_2 M_1 + \alpha_1 M_2), \quad \dot{z} = 2\alpha_3(\alpha_1 M_2 - \alpha_2 M_1),$$

что в подстановке (3.4) дает

$$\dot{\xi} = \frac{(u_1^2 - k)r_{12}r_{22}r_{32} + (u_2^2 - k)r_{11}r_{21}r_{31}}{\sqrt{b}(u_1^2 - u_2^2)(u_1 + u_2)}, \quad \dot{z} = -\frac{2\sqrt{b}(r_{11}r_{21}r_{31} + r_{12}r_{22}r_{32})}{(u_1^2 - u_2^2)(u_1 + u_2)}.$$

С другой стороны, из (3.2) имеем

$$\dot{\xi} = \frac{1}{(u_1 + u_2)^2} [(u_2^2 - k)\dot{u}_1 + (u_1^2 - k)\dot{u}_2], \quad \dot{z} = -\frac{2b}{(u_1 + u_2)^2}(\dot{u}_1 + \dot{u}_2).$$

Из двух последних систем получим разделенную систему

$$(u_1 - u_2)\dot{u}_1 = \sqrt{W(u_1)}, \quad (u_1 - u_2)\dot{u}_2 = \sqrt{W(u_2)}, \tag{3.5}$$

где

$$W(u) = \frac{1}{b}p_1(u)p_2(u)p_3(u) = \frac{1}{b}(2b + k - u^2)(2b - k + u^2)[(u - b)^2 - f^2]. \tag{3.6}$$

Уравнения (3.4), (3.5) дают полное решение задачи сведения случая Д.Н. Горячева к квадратурам.

## 4 Допустимая область и бифуркационная диаграмма

Начиная с этого момента, считаем, что оставшийся свободный физический параметр положителен

$$b > 0. \tag{4.1}$$

Полученные выше аналитические результаты по разделению переменных справедливы и для  $b < 0$ , но качественное поведение системы может значительно отличаться. В частности, полная энергия в окрестности особенности  $\alpha_3 = 0$  окажется неограниченной снизу.

В качестве пары независимых (почти всюду) интегралов на  $\mathcal{P}$  удобно выбрать  $K, F$ . Ведем интегральное отображение

$$J = K \times \sqrt{F} : \mathcal{P} \rightarrow \mathbb{R}^2 \tag{4.2}$$

и рассмотрим интегральные многообразия

$$J_{k,f} = J^{-1}(k, f) = \{\zeta \in \mathcal{P} : K(\zeta) = k, F(\zeta) = f^2\} \quad (f \geq 0).$$

В силу соотношения (2.1) они совпадают с соответствующими многообразиями (2.6).

Далее мы пользуемся методами работы [8]. Напомним некоторую терминологию.

Допустимым множеством называется подмножество  $\mathcal{D}$  плоскости  $(k, f)$ , состоящее из всех точек, для которых  $J_{k,f} \neq \emptyset$ . Фиксируем  $(k, f) \in \mathcal{D}$ . Достижимой областью  $\text{Acc}(k, f)$  называем проекцию интегрального многообразия  $J_{k,f}$  на плоскость  $(u_1, u_2)$ . Из (3.4), (3.5) в предположении (4.1) следует, что любая связная компонента достижимой области является прямоугольником, ограниченным отрезками прямых, параллельных координатным осям. На этих прямых значение постоянной координаты является корнем многочлена  $W(u)$ , называемого максимальным членом.

Напомним, что бифуркационной диаграммой называется подмножество  $\Sigma \subset \mathbb{R}^2$ , над которым отображение (4.2) не является локально-тривиальным. В условиях рассматриваемой задачи оно совпадает с множеством критических значений  $J$ . Наличие зависимостей (3.4) гарантирует, что  $\Sigma$  есть часть дискриминантного множества  $\Delta$  многочлена (3.6), содержащаяся в  $\mathcal{D}$ :

$$\Sigma = \Delta \cap \mathcal{D}. \quad (4.3)$$

Из (3.6) получаем, что  $\Delta$  состоит из трех прямых

$$k = 2b, \quad k = -2b, \quad f = 0$$

и четырех парабол

$$k = \pm 2b + (f \pm b)^2. \quad (4.4)$$

Для нахождения допустимого множества требуется получить необходимые и достаточные условия вещественности значений (3.4) в терминах знаков подрадикальных выражений в наиболее компактной форме независимых неравенств, легко проверяемых в областях, на которые плоскость постоянных интегралов делится дискриминантным множеством.

Пусть  $\mathcal{B} = \{0, 1\}$  – булева пара. Следуя [8], вводим функцию (булев знак)  $\text{bsgn} : \mathbb{R} \rightarrow \mathcal{B}$ , такую, что

$$\text{bsgn}(\theta) = \begin{cases} 0, & \theta \geq 0 \\ 1, & \theta < 0 \end{cases}.$$

Обозначая символом  $\oplus$  сумму по модулю 2, имеем свойство

$$\text{bsgn}(\theta_1 \theta_2) = \text{bsgn}(\theta_1) \oplus \text{bsgn}(\theta_2).$$

Введем булевы переменные

$$z_i = \text{bsgn } p_{i1}, \quad z_{3+i} = \text{bsgn } p_{i2} \quad (i = 1, 2, 3).$$

При отсутствии кратных корней многочлена  $W$  любая компонента достижимой области  $\text{Acc}(k, f)$  имеет внутреннюю точку. В такой точке условия вещественности (3.4) запишутся в виде системы  $\mathcal{B}$ -линейных уравнений

$$\begin{aligned} z_2 \oplus z_5 &= 1, \\ z_1 \oplus z_4 &= 0, \\ z_3 \oplus z_4 \oplus z_5 &= 1, \\ z_1 \oplus z_2 \oplus z_6 &= 1, \\ z_2 \oplus z_3 \oplus z_4 &= 0, \\ z_1 \oplus z_5 \oplus z_6 &= 0, \\ z_1 \oplus z_3 \oplus z_5 &= 1, \\ z_2 \oplus z_4 \oplus z_6 &= 1. \end{aligned} \quad (4.5)$$

Очевидно, ранг этой системы над  $\mathcal{B}$  равен 4 и она эквивалентна системе

$$Az = \zeta^0, \quad (4.6)$$

где  $\mathbf{z} = (z_1, \dots, z_6)^T \in \mathcal{B}^6$ , булева матрица  $A$  имеет вид (нуль изображаем пустой клеткой для наглядности)

$$\begin{array}{c} \zeta_1 \\ \zeta_2 \\ \zeta_3 \\ \zeta_4 \end{array} \left\| \begin{array}{cccccc} z_1 & z_2 & z_3 & z_4 & z_5 & z_6 \\ 1 & & & & 1 & 1 \\ & 1 & & & 1 & \\ & & 1 & & & 1 \\ & & & 1 & 1 & 1 \end{array} \right\|, \quad (4.7)$$

а  $\zeta^0 = (0, 1, 1, 0)^T$ .

Заметим, что

$$p_1(u) > -p_2(u).$$

поэтому к системе (4.6) можно добавить условия-импликации

$$\begin{cases} (z_1 \rightarrow \neg z_2) = 1, \\ (z_4 \rightarrow \neg z_5) = 1, \end{cases} \Leftrightarrow \begin{cases} (z_1, z_2) \neq (1, 1), \\ (z_4, z_5) \neq (1, 1). \end{cases}$$

Кроме того, транспозиция  $u_1 \leftrightarrow u_2$  в формулах (3.4) равносильна замене знака у всех  $r_{ij}$  одновременно, поэтому можно условиться, например, о выполнении неравенства

$$u_1^2 < u_2^2, \quad (4.8)$$

что дает

$$p_{21} < p_{22},$$

откуда

$$(z_5 \rightarrow z_2) = 1 \Leftrightarrow (z_2, z_5) \neq (0, 1).$$

Перечисленным условиям отвечает лишь одно из четырех решений системы (4.6)

$$\mathbf{z} = (0, 1, 1, 0, 0, 0)^T.$$

Следовательно, единственная система неравенств, обеспечивающая вещественность решения (3.4) при договоренности (4.8), имеет вид

$$\begin{aligned} (k + 2b) - u_1^2 &\geq 0, & u_1^2 - (k - 2b) &\leq 0, & (u_1 - b)^2 - f^2 &\leq 0, \\ (k + 2b) - u_2^2 &\geq 0, & u_2^2 - (k - 2b) &\geq 0, & (u_2 - b)^2 - f^2 &\geq 0. \end{aligned} \quad (4.9)$$

Так как мы условились брать  $f$  неотрицательным, то отсюда сразу следует, что решения возможны лишь в квадранте

$$k \geq 2b, \quad f \geq 0. \quad (4.10)$$

Введем в силу этого обозначения

$$\begin{aligned} m_1 &= \sqrt{k - 2b}, & m_2 &= \sqrt{k + 2b} & (0 < m_1 < m_2), \\ n_1 &= b - f, & n_2 &= b + f & (n_1 \leq n_2). \end{aligned} \quad (4.11)$$

При условии (4.1) из последнего уравнения (3.4) с необходимостью вытекает требование

$$u_1 + u_2 \geq 0.$$

Поэтому при выборе (4.8) получаем, что  $u_2 \geq 0$ , и тогда система (4.9) определяет следующие условия на достижимую область

$$u_1 \in [-m_1, m_1] \cap [n_1, n_2], \quad u_2 \in [m_1, m_2] \setminus [n_1, n_2]. \quad (4.12)$$

Пересечение множества  $\Delta$  с квадрантом (4.10) показано на рис. 1. При переходе через значение  $b = 1$  исчезает область  $III$  и возникает область, обозначенная  $III_*$ . На параболах (4.4), в

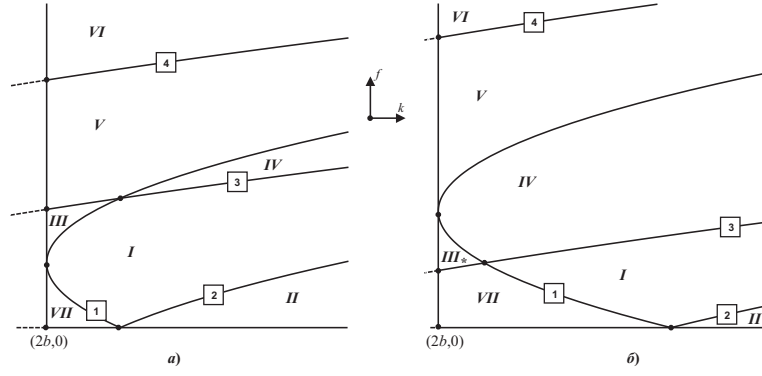


Рис. 1: Дискриминантное множество и кодировка областей: а)  $b < 1$ ; б)  $b > 1$ .

Таблица 1

Номер области	Корни $W$	Область изменения $u_1$	Область изменения $u_2$
$I$	$-m_2 < -m_1 < n_1 < m_1 < n_2 < m_2$	$[n_1, m_1]$	$[n_2, m_2]$
$II$	$-m_2 < -m_1 < n_1 < n_2 < m_1 < m_2$	$[n_1, n_2]$	$[m_1, m_2]$
$III$	$-m_2 < n_1 < -m_1 < m_1 < n_2 < m_2$	$[-m_1, m_1]$	$[n_2, m_2]$
$III_*$	$-m_2 < -m_1 < m_1 < n_1 < m_2 < n_2$	$\emptyset$	$[m_1, n_1]$
$IV$	$-m_2 < -m_1 < n_1 < m_1 < m_2 < n_2$	$[n_1, m_1]$	$\emptyset$
$V$	$-m_2 < n_1 < -m_1 < m_1 < m_2 < n_2$	$[-m_1, m_1]$	$\emptyset$
$VI$	$n_1 < -m_2 < -m_1 < m_1 < m_2 < n_2$	$[-m_1, m_1]$	$\emptyset$
$VII$	$-m_2 < -m_1 < m_1 < n_1 < n_2 < m_2$	$\emptyset$	$[m_1, n_1] \cup [n_2, m_2]$

соответствии с их нумерацией на рис. 1, имеем: 1)  $m_1 = |n_1|$ ; 2)  $m_1 = n_2$ ; 3)  $m_2 = n_2$ ; 4)  $m_2 = |n_1|$ . Сводка результатов по распределению значений (4.11) приведена в первых двух столбцах табл. 1. Оставшиеся два столбца содержат промежутки осцилляции переменных  $u_1, u_2$ , определенные согласно (4.12). Таким образом, движения возможны лишь в областях  $I - III$ , при этом проекция интегрального многообразия на плоскость разделенных переменных состоит из одного прямоугольника.

Суммируем полученную информацию относительно допустимого множества.

**Теорема 1.** Допустимое множество в пространстве констант первых интегралов  $K, \sqrt{F}$  имеет вид:

1) при  $b < 1$

$$\mathcal{D} = \{0 \leq f \leq b, k \geq 2b + (f - b)^2\} \cup \{b \leq f \leq 2\sqrt{b} - b, k \geq 0\} \cup \{f \geq 2\sqrt{b} - b, k \geq -2b + (f + b)^2\};$$

2) при  $b \geq 1$

$$\mathcal{D} = \{0 \leq f \leq 1, k \geq 2b + (f - b)^2\} \cup \{f \geq 1, k \geq -2b + (f + b)^2\}.$$

В силу этих неравенств получим согласно (4.3) утверждение о бифуркационной диаграмме.

**Теорема 2.** Бифуркационная диаграмма отображения  $K \times \sqrt{F}$  состоит из следующих множеств: при  $b < 1$

- $k = 2b, \quad b \leq f \leq 2\sqrt{b} - b,$
- $f = 0, \quad k \geq 2b + b^2,$
- $k = 2b + (f - b)^2, \quad 0 \leq f \leq 1,$
- $k = 2b + (f + b)^2, \quad f \geq 0,$

$$e) k = -2b + (f + b)^2, \quad f \geq 2\sqrt{b} - b;$$

а при  $b \geq 1$

$$a) f = 0, \quad k \geq 2b + b^2,$$

$$b) k = 2b + (f - b)^2, \quad 0 \leq f \leq 1,$$

$$c) k = 2b + (f + b)^2, \quad f \geq 0,$$

$$d) k = -2b + (f + b)^2, \quad f \geq 1.$$

Отрезок оси  $f = 0$  включается в бифуркационную диаграмму, поскольку очевидно, что ноль – критическое значение функции  $F$ , а для арифметического корня  $\sqrt{F}$  в соответствующих точках нарушается гладкость.

Допустимое множество и бифуркационная диаграмма указаны на рис. 2. Номерами 1–7 отмечены различные участки множеств (а)–(е), на которые их разбивают узловые точки диаграммы. Очевидно, что при переходе к значениям  $b > 1$  картина лишь упрощается, поэтому топологический анализ достаточно провести для случая  $b < 1$ . На рис. 2,а отмечены пути  $\lambda_1 - \lambda_3$ , указав бифуркации вдоль которых, мы получим полную информацию для построения любого грубого топологического инварианта.

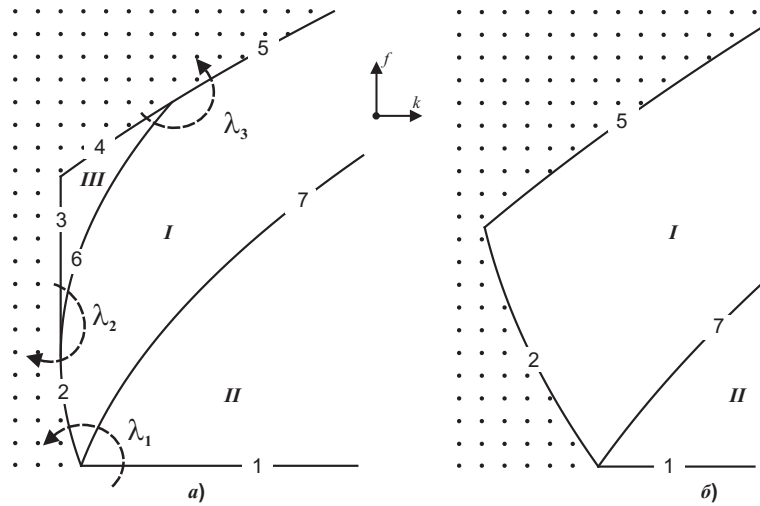


Рис. 2: Допустимое множество и бифуркационная диаграмма: а)  $b < 1$ ; б)  $b > 1$ .

## 5 Фазовая топология

Рассмотрим наиболее богатый случай  $b < 1$ . Для вычисления количества компонент связности регулярных интегральных многообразий (количества торов Лиувилля) и критических интегральных поверхностей воспользуемся методом булевых вектор-функций [8]. Сопоставим каждому радикалу  $r_{ij}$  в (3.3) его булев знак

$$z_i = \text{bsgn } r_{i1}, \quad z_{3+i} = \text{bsgn } r_{i2} \quad (i = 1, 2, 3).$$

Напомним, что здесь подразумеваются следующие предварительные действия, не влияющие на используемые формулы.

Фиксирована некоторая связная компонента  $\Pi$  достижимой области – прямоугольник осцилляции пары  $(u_1, u_2)$ . Тогда вполне определены знаки всех подкоренных выражений  $p_{ij}$  в зависимостях (3.4). У отрицательных  $p_{ij}$  изменим знак, множитель  $i$  вынесем в коэффициент перед произведением радикалов и соответственно переопределим  $r_{ij}$  так, что это значение будет вещественным.

Сопоставляя каждому моному от радикалов в (3.4) компоненту булевой вектор-функции, получим те выражения для компонент, которые фигурируют в левых частях уравнений (4.5). Получим  $\mathcal{B}$ -линейную функцию  $\dot{A} : \mathcal{B}^6 \rightarrow \mathcal{B}^8$ . Исключение зависимых компонент (элементарные преобразования строк соответствующей матрицы), сводят ее к функции  $A : \mathcal{B}^6 \rightarrow \mathcal{B}^4$  с матрицей (4.7), которую также обозначим через  $A$ . Дальнейший алгоритм состоит в следующем. На заданном прямоугольнике  $\Pi$  аргументы функции  $A$  разбиваем на две группы, помещая в первую булевы знаки радикалов, не меняющих знак на траекториях в  $\Pi$ , а во вторую – булевы знаки радикалов, периодически меняющих знак на этих траекториях. Для каждого из нефиктивных аргументов второй группы элементарными преобразованиями матрицы  $A$  добьемся того, чтобы соответствующий столбец стал единичным, после чего исключим из  $A$  этот столбец и строку, содержащую выбранный аргумент. В результате получим  $\mathcal{B}$ -линейное отображение, зависящее только от аргументов первой группы. Если  $p$  – его ранг, то количество связных компонент интегрального многообразия, накрывающего прямоугольник  $\Pi$  равно  $2^p$  [8]. В случае, когда компонент, зависящих только от аргументов первой группы, не остается, полагаем  $p = 0$ , и соответствующий прямоугольник накрывается одной компонентой. В критическом случае (наличие кратного корня у максимального многочлена) делаем то же самое с дополнительной оговоркой о том, что радикалы, содержащие кратный корень, всегда относятся ко второй группе, даже если этот кратный корень – внутренняя точка для промежутка осцилляции и фактически за конечное время не достигается соответствующей переменной разделения. Приведенные рассуждения применяются без учета возможности выбора различных знаков у радикала  $\sqrt{u_1 + u_2}$ . Этот выбор задает одно из двух инвариантных подмногообразий в  $\mathcal{P}$ , на которые фазовое пространство системы разбивает исключенное из рассмотрения подмножество  $\alpha_3 = 0$  особенностей потенциала. Поэтому в полном фазовом пространстве все последующие результаты о количестве компонент связности необходимо умножить на два. Будем считать, что для определенности мы ограничиваемся подмногообразием в  $\mathcal{P}$ , заданным неравенством  $\alpha_3 > 0$  (очевидно, рассматриваемая система обладает симметрией – обращением знака величин  $M_1, M_2, \alpha_3$ ).

Информация о достижимых областях, аргументах второй группы и остающихся после редукции компонентах булевой вектор-функции собрана в табл. 2.

Таблица 2

Номер области (сегмента)	Достижимая область	Вторая группа	Редуцированная функция	$2^p$	$\frac{1}{2}J_{k,f}$
<i>I</i>	$[n_1, m_1] \times [n_2, m_2]$	1,3,5,6	0	1	$\mathbf{T}^2$
<i>II</i>	$[n_1, n_2] \times [m_1, m_2]$	3,4,5	$z_1 \oplus z_2 \oplus z_6$	2	$2\mathbf{T}^2$
<i>III</i>	$[-m_1, m_1] \times [n_2, m_2]$	1,5,6	$z_2 \oplus z_3$	2	$2\mathbf{T}^2$
1	$\{n_1 = n_2\} \times [m_1, m_2]$	3,4,5	$z_1 \oplus z_2 \oplus z_6$	2	$2S^1$
2	$\{n_1 = m_1\} \times [n_2, m_2]$	1,3,5,6	0	1	$S^1$
3	$\{-m_1 = m_1\} \times [n_2, m_2]$	1,5,6	$z_2 \oplus z_3$	2	$2S^1$
4	$[-m_1, m_1] \times \{n_2 = m_2\}$	1,5,6	$z_2 \oplus z_3$	2	$2S^1$
5	$[n_1, m_1] \times \{n_2 = m_2\}$	1,3,5,6	0	1	$S^1$
6	$[n_1 = -m_1, m_1] \times [n_2, m_2]$	1,3,5,6	0	1	$S^1 \vee S^1$
7	$[n_1, m_1 = n_2] \times [m_1 = n_2, m_2]$	1,3,4,5,6	0	1	$S^1 \vee S^1$

Поясним преобразования матрицы (4.7) в трех основных случаях.

Для области *I* и сегментов 2, 5, 6, 7 последовательно исключаем пары «столбец-строка»  $(z_1, \zeta_1)$ ,  $(z_3, \zeta_4)$ , после чего последний столбец становится единичным и исключается пара  $(z_6, \zeta_4)$ . Остается одна строка, в которой аргумент  $z_5$  из второй группы – исключаем и ее. Остается вектор-функция без компонент (в табл. 2 она отмечена как тождественный ноль), то есть  $p = 0$ . На сегменте 7 тот факт, что и аргумент  $z_4$  оказывается во второй группе, уже не нужен.

Для области *II* и сегмента 1 последовательно исключаем пары «столбец-строка»  $(z_3, \zeta_3)$ ,

$(z_4, \zeta_4)$ , после чего к строке  $\zeta_1$  прибавим строку  $\zeta_2$ . Столбец  $z_5$  становится единичным и исключается пара  $(z_5, \zeta_2)$ . Остается одна строка, отвечающая функции  $z_1 \oplus z_2 \oplus z_6$ , в которой все аргументы из первой группы. Следовательно,  $p = 1$ .

Для области III и сегментов 3, 4 исключаем пару  $(z_1, \zeta_1)$ , после чего к строке  $\zeta_4$  прибавим строку  $\zeta_1$ . Столбец  $z_5$  становится единичным и исключается пара  $(z_5, \zeta_2)$ . К строке  $\zeta_4$  прибавим строку  $\zeta_3$ . Столбец  $z_6$  становится единичным и исключается пара  $(z_6, \zeta_3)$ . Остается одна строка, отвечающая функции  $z_2 \oplus z_3$  с аргументами из первой группы. Следовательно,  $p = 1$ .

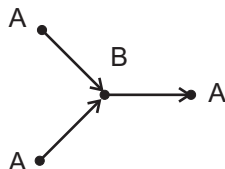


Рис. 3: Круговая молекула для узловых точек.

Теперь по количеству компонент связности однозначно определяются и интегральные многообразия, лежащие в выбранной «половине» системы (фиксированный знак  $\alpha_3$ ). Они указаны в последнем столбце таблицы. Соответственно, вдоль всех путей  $\lambda_1 - \lambda_3$  с учетом указанного направления имеем одинаковую последовательность бифуркаций  $\emptyset \rightarrow 2A \rightarrow 2\mathbf{T}^2 \rightarrow B \rightarrow \mathbf{T}^2 \rightarrow A \rightarrow \emptyset$ . Молекула показана на рис. 3. Используются обозначения атомов в соответствии с современной классификацией (см., например, [9]).

При переходе к значениям  $b > 1$  происходят очевидные упрощения – исчезает регулярная область III с двумя торами Лиувилля и примыкающие к ней сегменты 3, 4, 6.

Отметим, что наличие явного алгебраического решения с разделенными переменными позволяет легко вычислить инварианты траекторной эквивалентности, основываясь на числах вращения.

Автор выражает искреннюю признательность профессору М.П. Харламову за полезные советы и постоянное внимание к работе.

## Список литературы

- [1] Горячев Д.Н. Новые случаи интегрируемости динамических уравнений Эйлера // Изв. Варшавского ун-та. – 1916. – № 3. – С. 1-13.
- [2] Чаплыгин С.А. Новое частное решение задачи о движении твердого тела в жидкости // Труды отд-я физ. наук общества любителей естествознания. – 1903. – **11**, 2. – С. 7-10.
- [3] Yehia H.M. New integrable problems in the dynamics of rigid bodies with the Kovalevskaya configuration. I - The case of axisymmetric forces // Mech. Res. Commun. – 1996. – **23**, 5. – P. 423-427.
- [4] Tsiganov A.V. On the generalized Chaplygin system // J. of Math. Sciences. – 2010. – **168**, 8. – P. 901-911.
- [5] Kharlamov M.P., Savushkin A.Y. Explicit integration of one problem of motion of the generalized Kowalevski top // Mech. Res. Commun. – 2005. – № 32. – P. 547-552.
- [6] Харламов М.П. Обобщение 4-го класса Аппельрота: область существования движений и разделение переменных // Нелинейная динамика. – 2006. – **2**, 4. – С. 453-472.
- [7] Kharlamov M.P. Separation of variables in the generalized 4th Appelrot class // Regular and Chaotic Dynamics. – 2007. – **12**, 3. – P. 267-280.

- [8] Харламов М.П. Топологический анализ и булевы функции. I. Методы и приложения к классическим системам // Нелинейная динамика. – 2010. – **6**, 4. – С. 769-805.
- [9] Болсинов А.В., Фоменко А.Т. Интегрируемые гамильтоновы системы. Геометрия, топология, классификация // Ижевск: Изд-во РХД, 1999. – Т. 1,2.